

© 1992

## ТЕРМИЧЕСКАЯ СТАБИЛЬНОСТЬ РАДИАЦИОННЫХ ДЕФЕКТОВ В ТЕТРАБОРАТЕ ЛИТИЯ ПО ДАННЫМ ЭПР И ОПТИЧЕСКОЙ СПЕКТРОСКОПИИ

*Г. И. Маловичко, Л. Е. Витрук, Н. Ю. Юрченко, Я. В. Бурак,  
В. Г. Грачев, А. О. Матковский, Д. Ю. Сугак*

Изучена зависимость концентрации радиационных дефектов в облученных нейтронами монокристаллах тетрабората лития. Показано, что основными механизмами их разрушения являются как взаимная перезарядка электронных и дырочных ловушек, так и взаимоуничтожение выбитых из узлов ионов и их вакансий.

Перспективность практического применения кристаллического и аморфного тетрабората лития (ТБЛ) в качестве радиационных дозиметров [1, 2] и акустоэлектронных устройств [3] стимулирует всестороннее изучение дефектов, возникающих в нем при облучении. В [4, 5] нами было обнаружено, что после облучения ультрафиолетовым светом,  $\gamma$ -квантами источника  $\text{Co}^{60}$  или низкоэнергетическими электронами радиационные дефекты методами ЭПР и оптической спектроскопии не фиксируются. Однако после облучения быстрыми электронами ( $E_e > 1.2 \text{ МэВ}$  при поглощенных дозах свыше  $10^7 \text{ Гр}$ ) или нейтронами ( $E_n > 0.1 \text{ МэВ}$  при флюенсах  $\Phi_n > 10^{15} \text{ см}^{-2}$ ) благодаря появлению смещенных по ударному механизму атомов в концентрации выше, чем  $10^{16} \text{ см}^{-3}$  [5], были зарегистрированы интенсивное дополнительное поглощение (ДП) в области  $55\,000$ — $15\,000 \text{ см}^{-1}$  и многокомпонентный сигнал ЭПР. Идентифицировано свыше десятка парамагнитных дефектов. Условно их можно разделить на три группы (обозначения см. в [4]): 1)  $F$ -подобные центры с  $g \approx 2.00$ , представляющие собой электрон, захваченный кислородной вакансией (центры  $K1, K4$ ); 2) центры, представляющие собой комплекс  $\text{O}^0-\text{O}^-$  (или  $\text{O}_2^-$ ) из одного узельного и одного междуузельного кислорода ( $K5-K8$ ) или двух узельных ионов кислорода вблизи вакансии бора ( $K2, K9$ ); к ним же, вероятно, относятся центры  $K3, K12, K13$ , модели которых не установлены; 3) ионы  $\text{B}^{2+}$  в различном окружении ( $K10, K11$ ).

Настоящая работа посвящена исследованию термической стабильности парамагнитных дефектов с помощью ЭПР и оптической спектроскопии.

Выращенные методом Чохральского кристаллы были подвергнуты облучению нейтронами с флюенсом порядка  $7 \cdot 10^{17} \text{ см}^{-2}$ .

Измерения спектров ЭПР и оптического поглощения проводились при комнатной температуре на установке 8-мм диапазона длин волн РЭ-1308 и спектрофотометре «Specord MUO» соответственно. Изохронный отжиг осуществлялся на воздухе в течение 10 мин при каждой из выбранных температур в интервале  $20$ — $600^\circ\text{C}$ .

На рис. 1 приведены зависимости от температуры изохронного отжига интегральных интенсивностей линий ЭПР (т. е. концентрации) центров первой

группы и  $K11$  (а) и центров второй группы (б). Из-за обилия центров и перекрытия их линий точность определения интегральных интенсивностей  $\Delta\mathcal{J}/\mathcal{J}$  составляла лишь 10—20 %. Однако изменения интенсивностей намного превосходили  $\Delta\mathcal{J}/\mathcal{J}$ , что позволяет сделать вполне определенные выводы.

Увеличение концентрации центров  $K4$  при уменьшении концентрации менее стабильных при  $T > 250$  °C центров  $K1$  означает, что в кристалле ТБЛ после облучения имеется, кроме захвативших один электрон кислородных вакансий, некоторая доля вакансий без электрона. В этом случае вылетевший при распаде центра  $K1$  электрон может быть захвачен «пустой» вакансий ионом кислорода в позиции О (4) (см. рис. 3 в [4]) и образовать более стабильный центр  $K4$ . Природа центра  $K14$  с  $g=2.004$ , возникающего только при отжиге при  $T \approx 300$  °C и исчезающего при  $T > 400$  °C, пока не ясна.

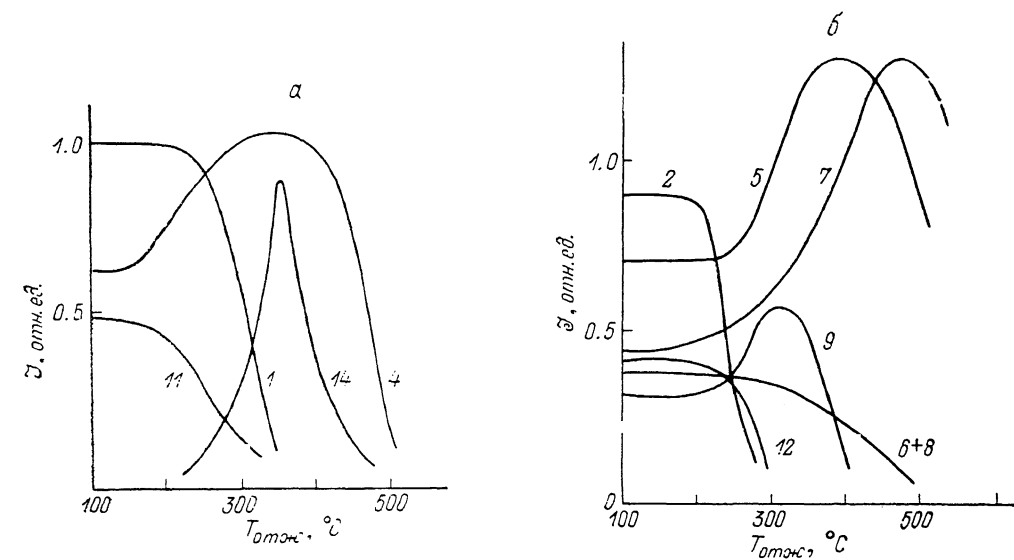


Рис. 1. Зависимость интегральной интенсивности линий ЭПР радиационных дефектов в ТБЛ от температуры изохронного отжига.

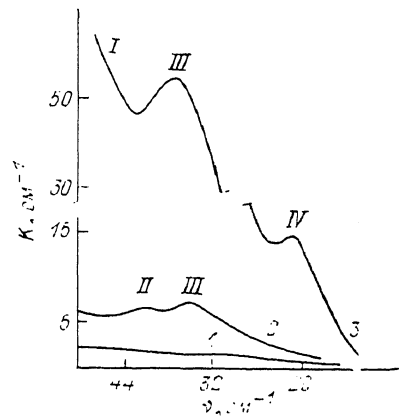
а: 1, 4, 11, 14 — центры  $K1$ ,  $K4$ ,  $K11$ ,  $K14$ ; б: 2, 5, 7, 9, 12 — центры  $K2$ ,  $K5$ ,  $K7$ ,  $K9$ ,  $K12$ ; 6+8 — суммарная интенсивность линий центров  $K6$  и  $K8$ .

Корреляцию изменений интенсивностей центров  $K2$ ,  $K9$  и  $K11$  можно объяснить двумя процессами. Первый процесс — заполнение ионами  $B_{Li}$  ближайших вакансий  $B^{3+}$ . При этом два парамагнитных центра  $K2$  ( $O^0-V_B-O^-$ ) и  $K11$  ( $B_{Li2+}$ ) исчезают, образуя два немагнитных комплекса  $O^2-B^{3+}-O^{2-}$  и  $V_{Li}$ . Поскольку концентрация центров  $K2$  сразу после облучения оказалась почти вдвое выше, чем  $K11$ , таким путем уничтожается только половина центров  $K2$ . Оставшиеся при повышении температуры центры  $K2$  превращаются в  $K9$  (при этом просто меняется ориентация связи  $O^0-O^-$  вблизи вакансии бора:  $O(4)-O(2)$  переходит в  $O(3)-O(2)$ ). Это приводит к некоторому увеличению концентрации центров  $K9$ , уровень залегания которых, судя по температуре их отжига (порядка 330 °C), расположев несколько ниже, чем у  $K2$ .

Более сложна картина трансформации центров  $K5-K8$ . Наиболее стабильными являются центр  $K5$ , представляющий собой междоузельный кислород, расположенный на  $c/2$  выше О (4) и связанный с О (3), и центр  $K7$ , содержащий в своем составе кислород (в междоузлие на винтовой оси  $4_1$  между двумя ионами  $Li$ ) и протон (см. рис. 3 в [4]). Стабильность  $K7$  обусловлена его электронейтральностью, а центра  $K5$  — тем, что длина связи  $O(c/2)-O(3)$  несколько

меньше, чем  $O(c/2)-O(2)$  и  $O(c/2)-O(1)$  для центров  $K_6$ ,  $K_8$ . Если для объяснения роста концентрации центров  $K_5$  достаточно учесть только переориентацию связей  $O(c/2)$  с ионами  $O(1)$ ,  $O(2)$ ,  $O(3)$ , то для объяснения накопления при изохронном отжиге центров  $K_7$  приходится предположить, что в кристалле имеется некоторое количество междоузельных ионов кислорода, не связанных неспаренными связями с ионами решетки (например, междоузельных  $OH^-$ -ионов). Этот вывод согласуется со сделанным ранее допущением о существовании непарамагнитных кислородных вакансий. Стабильность центров,

Рис. 2. Спектры оптического поглощения ТБЛ до (1) и после нейтронного облучения флюенсом  $5 \cdot 10^{15}$  (2) и  $6.7 \cdot 10^{17} \text{ см}^{-2}$  (3).



содержащих междоузельный кислород, вплоть до  $500^\circ\text{C}$ косвенно подтверждает также механизм суперионной проводимости ТБЛ [6] — движение ионов (или вакансий) лития при неподвижности кислородного каркаса.

Заметные изменения оптического поглощения ТБЛ появляются после облучения флюенсом  $\Phi_n = 10^{15} \text{ см}^{-2}$  (рис. 2). При  $\Phi_n = 5 \cdot 10^{15} \text{ см}^{-2}$  в спектре ДП

четко проявляются два максимума:  $42\ 000$  и  $33\ 000 \text{ см}^{-1}$  (полосы  $II$  и  $III$ ). При флюенсах выше  $10^{17} \text{ см}^{-2}$  происходит значительное уширение фундаментального края, перекрывающее полосу  $III$ , и появление максимума ДП в области  $21\ 000 \text{ см}^{-1}$  (полоса  $IV$ ). Температурные зависимости разрушения наведенного поглощения приведены на рис. 3.

Сопоставляя друг с другом рис. 1, а, б и 2, легко увидеть, что начальные участки спада оптических полос  $I-IV$  коррелируют с убыванием концентра-

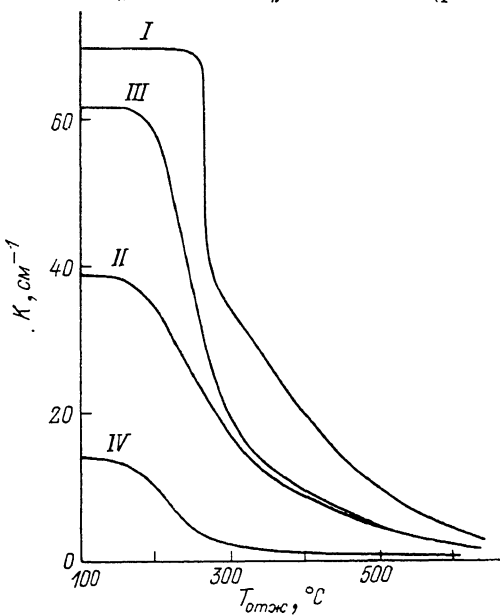


Рис. 3. Зависимость коэффициента поглощения в полосах  $I$  ( $\nu > 50\ 000 \text{ см}^{-1}$ ),  $II$  ( $42\ 000 \text{ см}^{-1}$ ),  $III$  ( $34\ 000 \text{ см}^{-1}$ ) и  $IV$  ( $21\ 000 \text{ см}^{-1}$ ) от температуры отжига облученного ТБЛ.

ции центров  $K_1$ ,  $K_2$ ,  $K_{12}$ . Пологие «хвосты» температурных зависимостей отражают тот факт, что полосы  $I-IV$  являются составными и содержат вклады от поглощения света различными центрами. В их число могут входить как изученные нами с помощью ЭПР центры, так и непарамагнитные радиационные дефекты.

Синхронное уменьшение линий сразу нескольких дефектов означает, что

основными механизмами их разрушения являются как взаимная перезарядка электронных и дырочных ловушек, так и взаимоуничтожение выбитых из узлов ионов и их вакансий.

При  $T_{отк} \approx 400 \pm 450$  °С кристалл практически обесцвечивается, однако ДП в области выше 45 000 см<sup>-1</sup> частично сохраняется. В то же время в нем еще наблюдаются интенсивные спектры ЭПР центров K4, K5, K7. Это означает, что уровни их энергии лежат глубоко в запрещенной зоне.

### Список литературы

- [1] Hübner K., Prokert K., Vizoco S., Borolin M. // Kernenergie. 1983. V. 26. N 3. P. 118—120.
- [2] Kutomi Y., Takeuchi N. // J. Material Science Letters. 1986. V. 5. P. 51—53.
- [3] Зеленка Н. Пьезокристаллические резонаторы на объемных и поверхностных акустических волнах. М.: Мир, 1990. 584 с.
- [4] Маловичко Г. И., Грачев В. Г., Матковский А. О. // ФТТ. 1991. Т. 31. № 7. С. 1966—1972.
- [5] Матковский А. О., Сугак Д. Ю., Бурак Я. В. и др. // Изв. АН Латв. ССР, сер. физ. и техн. наук. 1989. № 6. С. 20—24.
- [6] Бурак Я. В., Лысенко И. Т., Гаранин И. В. // УФЖ. 1989. Т. 34. № 2. С. 226—228.

Институт проблем материаловедения АН Украины  
Киев  
НИИ материалов  
Львов

Поступило в Редакцию  
26 августа 1991 г.